

# EE5112 人机交互—Project 2

## 基于 STOMP 的 Kinova 机械臂轨迹规划

**Team Members:** Wu Zining Niu Mu Zhao Jinqiu

AY 2025/2026  
National University of Singapore

*Lecturer: Dr. Lin Zhao (School of ECE, NUS)*

*Codebase: kinova-stomp-motion-planning*

### 摘要

本文围绕 EE5112 Project 2 要求，完成对基于 STOMP (Stochastic Trajectory Optimization for Motion Planning) 的轨迹规划实现与评估。报告重点详述：**Task 1** — 补全示例代码、在原始障碍设置下实现 Kinova Gen3 机械臂的无碰撞路径规划与可视化；**Task 2** — 在 8 种不同机器人平台上验证 STOMP 算法的通用性，包括 ABB IRB120、Franka Panda、Kuka IIWA、UR 系列等，规划成功率 100%，证明了算法的平台无关性；**Task 3** — 基于指数积 (Product of Exponentials, PoE) 公式实现正向运动学以替代内置 `getTransform()`，并与 STOMP 流水线衔接；**Task 4** — 设计四种自定义避障场景，实现定向盒子体素化算法，成功规划复杂障碍环境下的无碰撞轨迹；**Task 5** — 实现末端执行器姿态约束，通过软约束方法在代价函数中添加姿态惩罚项，姿态对齐精度提升显著。我们给出算法原理、实现要点、关键参数、实验设置与结果分析，并附参考文献以支撑方法选择与实现细节。

**关键词：**STOMP，运动规划，PoE，正向运动学，Kinova Gen3，避障

### 目录

|   |          |
|---|----------|
| <b>1 任务一：基于 STOMP 的 Kinova 机械臂无碰撞路径规划</b> | <b>5</b> |
| 1.1 任务目标与待补全模块 . . . . .                  | 5        |
| 1.2 STOMP 算法原理 . . . . .                  | 5        |
| 1.2.1 算法流程 . . . . .                      | 5        |
| 1.3 代价函数设计 . . . . .                      | 6        |

|       |                              |    |
|-------|------------------------------|----|
| 1.3.1 | 障碍代价 $c_{\text{obs}}$        | 6  |
| 1.3.2 | 平滑代价 $c_{\text{smooth}}$     | 7  |
| 1.3.3 | 约束代价 $c_{\text{constraint}}$ | 7  |
| 1.4   | 关键实现模块                       | 7  |
| 1.4.1 | helperSTOMP.m — 主循环          | 7  |
| 1.4.2 | stompSamples.m — 采样生成        | 8  |
| 1.4.3 | stompDTheta.m — 梯度估计         | 8  |
| 1.4.4 | stompObstacleCost.m — 障碍代价   | 8  |
| 1.4.5 | stompRobotSphere.m — 碰撞球生成   | 8  |
| 1.5   | 实验设置与结果                      | 9  |
| 1.5.1 | 实验环境                         | 9  |
| 1.5.2 | 性能指标                         | 9  |
| 1.5.3 | 典型结果                         | 9  |
| 1.6   | 讨论与改进                        | 10 |
| 1.6.1 | 算法特性分析                       | 10 |
| 1.6.2 | 参数调优经验                       | 10 |
| 1.6.3 | 潜在改进方向                       | 10 |
| 2     | 任务二：多机器人平台 STOMP 算法验证        | 10 |
| 2.1   | 任务要求                         | 10 |
| 2.2   | 测试机器人平台选择                    | 10 |
| 2.2.1 | 机器人列表                        | 10 |
| 2.2.2 | 选择依据                         | 11 |
| 2.3   | 实现方法                         | 11 |
| 2.3.1 | 机器人模型加载                      | 11 |
| 2.3.2 | 参数自适应调整                      | 11 |
| 2.3.3 | 关节配置处理                       | 12 |
| 2.3.4 | 可视化与视频录制增强                   | 12 |
| 2.4   | 实验结果                         | 12 |
| 2.4.1 | 规划成功率                        | 12 |
| 2.4.2 | 可视化结果                        | 13 |
| 2.5   | 算法通用性分析                      | 13 |
| 2.5.1 | 不同自由度的影响                     | 13 |
| 2.5.2 | 不同工作空间的影响                    | 13 |
| 2.5.3 | 不同几何结构的影响                    | 13 |
| 2.6   | 关键实现要点                       | 13 |
| 2.6.1 | 统一接口设计                       | 13 |
| 2.6.2 | 碰撞检测适配                       | 15 |

|  |           |
|--|-----------|
| 2.6.3 性能优化 . . . . .   | 15        |
| 2.7 总结 . . . . .   | 15        |
| <b>3 任务三：使用 PoE 公式实现正向运动学</b>                                | <b>16</b> |
| 3.1 任务要求 . . . . .   | 16        |
| 3.2 PoE 正向运动学基本原理 . . . . .                                  | 16        |
| 3.2.1 什么是 PoE 公式？ . . . . .                                  | 16        |
| 3.2.2 为什么要用 PoE？ . . . . .                                   | 16        |
| 3.3 螺旋轴的确定方法 . . . . .                                       | 17        |
| 3.3.1 使用几何雅可比矩阵提取 . . . . .                                  | 17        |
| 3.3.2 为什么在 home configuration 计算？ . . . . .                  | 17        |
| 3.3.3 零位变换矩阵 $M_i$ 的获取 . . . . .                             | 17        |
| 3.4 核心实现： <code>updateJointsWorldPosition.m</code> . . . . . | 17        |
| 3.4.1 实现策略 . . . . .   | 17        |
| 3.4.2 指数映射的实现（Rodrigues 公式） . . . . .                        | 18        |
| 3.5 与 STOMP 的集成 . . . . .                                    | 19        |
| 3.5.1 在轨迹优化中的作用 . . . . .                                    | 19        |
| 3.5.2 PoE 的性能优势 . . . . .                                    | 19        |
| 3.6 验证与调试 . . . . .  | 19        |
| 3.6.1 正确性验证 . . . . .  | 19        |
| 3.6.2 常见问题与解决 . . . . .                                      | 19        |
| 3.7 实验结果 . . . . .   | 20        |
| 3.7.1 功能验证 . . . . .   | 20        |
| 3.7.2 性能对比 . . . . .   | 20        |
| 3.8 总结 . . . . .   | 20        |
| <b>4 任务四：自定义避障场景设计</b>                                       | <b>20</b> |
| 4.1 任务要求 . . . . .   | 20        |
| 4.2 场景设计策略 . . . . .   | 21        |
| 4.2.1 设计原则 . . . . .   | 21        |
| 4.2.2 障碍物参数化 . . . . .                                       | 21        |
| 4.3 定向盒子体素化实现 . . . . .                                      | 21        |
| 4.3.1 核心挑战 . . . . .   | 21        |
| 4.3.2 实现方法 . . . . .   | 21        |
| 4.3.3 性能优化 . . . . .   | 22        |
| 4.4 场景详细描述 . . . . .   | 22        |
| 4.4.1 场景 1：斜墙阻断 . . . . .                                    | 22        |
| 4.4.2 场景 2：高低障碍 . . . . .                                    | 22        |

|  |           |
|--|-----------|
| 4.4.3 场景 3: 组合场景 . . . . .                       | 23        |
| 4.4.4 场景 4: 弧形拱桥 . . . . .                       | 24        |
| 4.5 参数调优 . . . . .                               | 24        |
| 4.5.1 STOMP 参数增强 . . . . .                       | 24        |
| 4.5.2 安全参数调整 . . . . .                           | 24        |
| 4.6 目标位置自由空间校验 . . . . .                         | 25        |
| 4.6.1 问题背景 . . . . .                             | 25        |
| 4.6.2 自动修正策略 . . . . .                           | 25        |
| 4.7 实验结果 . . . . .                               | 26        |
| 4.7.1 功能验证 . . . . .                             | 26        |
| 4.7.2 性能指标 . . . . .                             | 26        |
| 4.7.3 可视化增强 . . . . .                            | 26        |
| 4.8 总结 . . . . .                                 | 26        |
| <b>5 任务五：末端执行器姿态约束</b> . . . . .                 | <b>27</b> |
| 5.1 任务要求 . . . . .                               | 27        |
| 5.2 姿态约束实现策略 . . . . .                           | 27        |
| 5.2.1 软约束 vs 硬约束 . . . . .                       | 27        |
| 5.2.2 姿态惩罚度量 . . . . .                           | 27        |
| 5.3 核心实现: <code>stompTrajCost.m</code> . . . . . | 28        |
| 5.3.1 姿态约束代价计算 . . . . .                         | 28        |
| 5.3.2 总代价函数 . . . . .                            | 29        |
| 5.4 起点与终点姿态对齐 . . . . .                          | 29        |
| 5.4.1 起点姿态设置 . . . . .                           | 29        |
| 5.4.2 终点姿态锁定 . . . . .                           | 29        |
| 5.4.3 可选策略 . . . . .                             | 30        |
| 5.5 对比实验设计 . . . . .                             | 30        |
| 5.5.1 实验流程 . . . . .                             | 30        |
| 5.5.2 可视化增强 . . . . .                            | 30        |
| 5.6 实验结果 . . . . .                               | 30        |
| 5.6.1 功能验证 . . . . .                             | 30        |
| 5.6.2 定量分析 . . . . .                             | 32        |
| 5.6.3 路径差异分析 . . . . .                           | 32        |
| 5.7 参数调优经验 . . . . .                             | 32        |
| 5.7.1 惩罚权重选择 . . . . .                           | 32        |
| 5.7.2 角度阈值设置 . . . . .                           | 32        |
| 5.7.3 推荐配置 . . . . .                             | 33        |
| 5.8 总结 . . . . .                                 | 33        |

|                      |           |
|----------------------|-----------|
| <b>6 结论与展望</b>       | <b>33</b> |
| 6.1 主要成果 . . . . .   | 33        |
| 6.2 技术亮点 . . . . .   | 34        |
| 6.3 未来改进方向 . . . . . | 34        |

# 1 任务一：基于 STOMP 的 Kinova 机械臂无碰撞路径规划

## 1.1 任务目标与待补全模块

本任务要求完善给定的不完整示例代码，使 MATLAB Live Script KINOVA\_STOMP\_Path\_Planning.m 能够在原始障碍场景下，为 Kinova Gen3 机械臂规划一条从初始配置到目标末端姿态的无碰撞、平滑轨迹，并生成可视化动画。项目明确指出需要补全以下五个核心函数模块：

- helperSTOMP.m — STOMP 主循环与迭代控制
- updateJointsWorldPosition.m — 正向运动学计算（Task 3 用 PoE 替换）
- stompDTheta.m — 梯度估计（加权噪声求和）
- stompSamples.m — 轨迹采样（多元高斯扰动生成）
- stompObstacleCost.m — 障碍代价计算（基于符号距离场）

## 1.2 STOMP 算法原理

STOMP (Stochastic Trajectory Optimization for Motion Planning) [1] 是一种基于随机采样的轨迹优化方法，其核心思想是：在给定初始轨迹的基础上，通过加噪声采样、代价评估、加权更新三个步骤迭代优化轨迹，无需显式计算梯度，因此对非光滑、不可导的代价函数（如碰撞惩罚）具有良好的鲁棒性。

### 1.2.1 算法流程

设轨迹由  $T$  个离散时间步的关节配置  $\{\theta_t\}_{t=1}^T$  描述 ( $\theta_t \in \mathbb{R}^n$ )，其中  $\theta_1$  和  $\theta_T$  为固定的起点与终点。算法迭代过程如下：

**Step 1：采样** 对每个内部时间步  $t \in \{2, \dots, T-1\}$ ，生成  $K$  条带噪声的采样轨迹：

$$\tilde{\theta}_t^{(k)} = \theta_t + \varepsilon_t^{(k)}, \quad \varepsilon_t^{(k)} \sim \mathcal{N}(0, \Sigma), \quad k = 1, \dots, K$$

其中协方差矩阵  $\Sigma$  通常取为平滑矩阵  $R$  的逆（归一化后），以鼓励轨迹在时间上的连续性。

**Step 2:** 代价评估 对每条采样轨迹  $k$ , 计算其总代价:

$$C^{(k)} = \sum_{t=1}^T c(\tilde{\theta}_t^{(k)}) + \frac{1}{2} \tilde{\theta}^{(k)\top} R \tilde{\theta}^{(k)}$$

其中  $c(\theta_t)$  为障碍代价,  $R$  为二阶差分平滑矩阵。

**Step 3:** 概率加权 将代价转换为概率权重 (采用 Boltzmann 分布):

$$w^{(k)} = \frac{\exp(-\eta^{-1} C^{(k)})}{\sum_{j=1}^K \exp(-\eta^{-1} C^{(j)})}$$

其中  $\eta$  为温度参数, 控制代价对概率的敏感度。

**Step 4:** 梯度估计与更新 计算加权噪声的期望作为更新方向:

$$\Delta\theta_t = \sum_{k=1}^K w^{(k)} \varepsilon_t^{(k)}$$

应用平滑后的更新:

$$\theta_t \leftarrow \theta_t + M \Delta\theta_t$$

其中  $M$  为平滑矩阵, 通常由  $R$  的逆归一化得到。

### 1.3 代价函数设计

我们的代价函数由三部分组成:

#### 1.3.1 障碍代价 $c_{\text{obs}}$

采用基于符号欧氏距离场 (Signed Euclidean Distance Transform, sEDT) 的障碍代价函数 [3]。对机器人每一连杆用一系列球体近似 (球心由 `stompRobotSphere.m` 生成), 计算每个球心到最近障碍的距离  $d_i$ 。

实现中提供了两种代价函数形式:

#### 指类型代价函数

$$c_{\text{obs}}^{\text{exp}} = \sum_i \max(0, \exp(\alpha(\delta_i)^2) - 1), \quad \delta_i = d_{\text{safe}} - d_i$$

其中  $d_{\text{safe}} = 0.05\text{m}$  为安全裕度,  $\alpha = 100$  为惩罚强度。仅当  $d_i < d_{\text{safe}}$  时施加惩罚。

**线性型代价函数（带速度权重）** 当前实现采用线性型代价函数，结合速度权重以考虑运动过程中的碰撞风险：

$$c_{\text{obs}}^{\text{linear}} = w \sum_i \phi_i^2 \cdot v_i, \quad \phi_i = \max(0, d_{\text{safe}} - d_i)$$

其中  $v_i$  为第  $i$  个碰撞球的速度（通过有限差分计算）， $w = 10000$  为权重系数。该形式在安全带内对速度进行二次惩罚，鼓励机器人在接近障碍物时减速，提升安全性。

### 1.3.2 平滑代价 $c_{\text{smooth}}$

采用二阶有限差分矩阵  $R$  惩罚加速度：

$$c_{\text{smooth}} = \frac{1}{2} \theta^\top R \theta, \quad R = A^\top A$$

其中  $A$  为离散二阶差分算子。该项确保轨迹在关节空间的平滑性，避免抖动。

### 1.3.3 约束代价 $c_{\text{constraint}}$

预留接口用于添加末端姿态约束（Task 5）。当前实现中设为零：

$$c_{\text{constraint}}(t) = 0$$

## 1.4 关键实现模块

### 1.4.1 helperSTOMP.m — 主循环

实现完整的 STOMP 迭代流程，包括：

- 轨迹初始化（线性插值）
- 平滑矩阵预算（ $R$ 、 $R^{-1}$ 、 $M$ ）
- 收敛判定（代价变化小于阈值或达到最大迭代次数 50）
- 碰撞检测（使用 MATLAB `checkCollision`）
- 动画生成（可选开关 `enableVideo` 与 `enableVideoTraining`）

关键参数设置：

- `nDiscretize = 20` — 轨迹离散化点数
- `nPaths = 20` — 每次迭代的采样数
- `convergenceThreshold = 0.1` — 收敛阈值
- `eta = 10` — Boltzmann 温度参数

### 1.4.2 stompSamples.m —采样生成

为每个关节独立生成高斯噪声，使用 Cholesky 分解采样：

```

1 A = chol(sigma, 'lower');
2 Z = randn(nDiscretize-2, nSamplePaths);
3 em_m = (A * Z)' + mu; % (nPaths x innerN)

```

起点与终点不施加噪声（保持固定），仅对内部点  $t \in \{2, \dots, T - 1\}$  采样。

### 1.4.3 stompDTheta.m —梯度估计

实现概率加权的噪声求和：

```

1 dtheta = zeros(nJoints, nDiscretize_movable);
2 for m = 1:nJoints
3     em_m = em{m}; % (nPaths x innerN)
4     weighted_noise = trajProb .* em_m; % Hadamard 积
5     dtheta(m, :) = sum(weighted_noise, 1); % 按列求和
6 end

```

### 1.4.4 stompObstacleCost.m —障碍代价

关键实现细节：

- 将球心坐标映射到体素网格索引（使用边界检查避免越界）
- 从 sEDT 提取符号距离  $s_i$
- 计算有效距离  $d_i = s_i - r_{ball}$
- 实现两种代价函数形式：
  - 指数型： $c_{exp} = \sum \max(0, \exp(\alpha \delta_i^2) - 1)$ ,  $\alpha = 100$
  - 线性型（当前使用）： $c_{linear} = w \sum \phi_i^2 \cdot v_i$ , 结合速度权重  $v_i$ ,  $w = 10000$
- 使用 try-catch 结构处理边界情况，确保数值稳定性

### 1.4.5 stompRobotSphere.m —碰撞球生成

**关键优化：固定球数策略**

为避免相邻时间步球数不一致导致的维度不匹配错误，采用 `persistent` 变量缓存每段连杆的球数量，确保整个规划过程中球总数恒定：

```
1 persistent cachedCounts
2 if isempty(cachedCounts)
3     for k = 1:nJoints
4         L = norm(child_pos - parent_pos);
5         cachedCounts(k) = max(2, ceil(L/rad) + 1);
6     end
7 end
```

## 1.5 实验设置与结果

### 1.5.1 实验环境

- 机器人：Kinova Gen3（7-DOF 机械臂）
- 工具箱：MATLAB Robotics System Toolbox
- 障碍物：由 `helperCreateObstaclesKINOVA.m` 生成的 3D 体素环境
- 初末姿态：由逆运动学求解得到（`taskInit`、`taskFinal`）

### 1.5.2 性能指标

- 碰撞检测：使用 `checkCollision` 验证最终轨迹无碰撞
- 代价收敛：记录每轮迭代的总代价  $Q(\theta)$
- 平滑度：计算控制代价  $RAR = \frac{1}{2}\theta^\top R\theta$
- 计算时间：使用 `tic/toc` 记录每次迭代耗时

### 1.5.3 典型结果

在默认参数设置下（`nDiscretize=20`, `nPaths=20`）：

- 算法在 **10-30** 次迭代内收敛（代价变化  $< 0.1$ ）
- 最终轨迹通过碰撞检测（`isTrajectoryInCollision = false`）
- 障碍代价随迭代单调下降并趋近于零
- 平滑代价保持在合理范围，无明显关节抖动
- 单次迭代平均耗时约 **1-3** 秒（取决于硬件）

## 1.6 讨论与改进

### 1.6.1 算法特性分析

- **优点：**无需梯度信息，适用于非光滑代价；并行化潜力大（ $K$  条轨迹可独立评估）；对初始化鲁棒。
- **局限：**对温度参数  $\eta$  敏感；采样数  $K$  较大时计算开销显著；可能陷入局部最优。

### 1.6.2 参数调优经验

- 增大 `nPaths` 可提高收敛稳定性，但需权衡计算时间
- 温度参数 `eta=10` 在大多数场景表现良好；过小会使更新过于激进
- 安全裕度  $d_{safe} = 0.05m$  需根据机器人尺寸与障碍密度调整
- 线性型代价函数的权重  $w$  影响速度惩罚强度，可根据场景动态调整

### 1.6.3 潜在改进方向

- 采用自适应温度策略（迭代初期高温度鼓励探索，后期低温度精细收敛）
- 结合多分辨率采样（粗到细）加速收敛
- 集成快速碰撞检测库（如 FCL）替代 MATLAB 内置函数

## 2 任务二：多机器人平台 STOMP 算法验证

### 2.1 任务要求

Task 2 要求选择一个不同的机器人机械臂，在类似于 Task 1 的场景中为其规划路径。该任务旨在验证 STOMP 算法的通用性和可移植性，展示算法在不同机器人平台上的适用性。为全面评估算法性能，我们选择了 8 种不同类型的工业机械臂进行测试。

### 2.2 测试机器人平台选择

#### 2.2.1 机器人列表

我们选择了以下 8 种机器人平台，涵盖不同的自由度、工作空间和制造商：

1. **ABB IRB120** —6-DOF 小型工业机械臂，紧凑型设计
2. **Franka Emika Panda** —7-DOF 协作机器人，高精度力控

3. **Kinova Gen3** —7-DOF 轻量级机械臂（原始测试平台）
4. **Kuka IIWA 7** —7-DOF 轻型机器人，柔顺控制
5. **Rethink Sawyer** —7-DOF 协作机器人，单臂设计
6. **Universal Robots UR10** —6-DOF 中型协作机器人
7. **Universal Robots UR3** —6-DOF 小型协作机器人
8. **Universal Robots UR5** —6-DOF 标准协作机器人

### 2.2.2 选择依据

- **多样性：**涵盖 6-DOF 和 7-DOF 机器人，验证算法对不同自由度的适应性
- **代表性：**选择主流工业机器人和协作机器人，具有实际应用价值
- **可获取性：**所有机器人模型均可在 MATLAB Robotics System Toolbox 中通过 `loadrobot()` 函数直接加载

## 2.3 实现方法

### 2.3.1 机器人模型加载

使用 MATLAB `loadrobot()` 函数加载机器人模型，统一数据格式为列向量：

```
1 robot = loadrobot('robotName', 'DataFormat', 'column');
```

支持的机器人名称包括：`'abbIrb120'`、`'frankaEmikaPanda'`、`'kinovaGen3'`、`'kukaIiwa7'`、`'rethinkSawyer'`、`'universalUR10'`、`'universalUR3'`、`'universalUR5'`。

### 2.3.2 参数自适应调整

不同机器人的工作空间和关节范围差异较大，需要对以下参数进行自适应调整：

#### 工作空间适配

- **障碍物位置：**根据机器人最大伸展范围（reach）调整障碍物位置，确保场景具有挑战性
- **目标位置：**使用逆运动学（IK）验证目标位置可达性，必要时微调

### STOMP 参数调整

- **轨迹离散化点数:** 根据机器人自由度调整 `nDiscretize` (6-DOF 用 20, 7-DOF 用 25)
- **采样数:** 保持 `nPaths = 20`, 确保算法稳定性
- **碰撞球半径:** 根据机器人连杆尺寸调整 `sphere_radius` (范围 0.03-0.06 m)

### 2.3.3 关节配置处理

- **固定关节识别:** 某些机器人（如 UR 系列）起始链接为固定关节，需确保规划的关节角对应实际可动关节
- **关节限位检查:** 验证初始和目标配置是否在关节限位范围内
- **逆运动学求解:** 使用 `inverseKinematics` 求解器获取初始和目标关节配置，确保末端姿态可达

### 2.3.4 可视化与视频录制增强

为更好地展示规划过程和结果，实现了增强的可视化功能：

- **稳定场景设置:** 使用固定视角和坐标轴锁定，确保视频录制过程中视角稳定
- **障碍物可视化:** 使用 `isosurface` 从 sEDT 数据生成障碍物的等值面可视化
- **目标点标注:** 在场景中标注目标位置，便于观察规划结果
- **视频录制功能:** 支持录制训练过程动画 (`enableVideoTraining`) 和最终规划轨迹动画 (`enableVideoPlanned`)
- **迭代信息显示:** 在视频中叠加显示当前迭代次数，便于跟踪优化过程

## 2.4 实验结果

### 2.4.1 规划成功率

所有 8 种机器人平台均成功完成路径规划，规划成功率 **100%**。算法在不同机器人上的表现如下：

- **6-DOF 机器人 (ABB IRB120、UR 系列):** 平均迭代次数 12-18 次，收敛速度较快
- **7-DOF 机器人 (Kinova Gen3、Franka Panda、Kuka IIWA、Sawyer):** 平均迭代次数 15-25 次，由于冗余自由度，路径选择更灵活

### 2.4.2 可视化结果

图 1 和图 2 展示了 8 种机器人在相同避障场景下的路径规划结果。所有机器人都成功规划出无碰撞、平滑的轨迹。

## 2.5 算法通用性分析

### 2.5.1 不同自由度的影响

- **6-DOF 机器人：**由于自由度较低，路径选择相对受限，但算法仍能找到可行解。收敛速度通常更快，因为搜索空间较小。
- **7-DOF 机器人：**冗余自由度提供了更多避障路径选择，算法可以利用自运动 (self-motion) 优化轨迹。收敛可能需要更多迭代，但最终轨迹通常更平滑。

### 2.5.2 不同工作空间的影响

- **小型机器人 (UR3、ABB IRB120)：**工作空间较小，需要更精细的障碍物布置，目标位置选择受限。
- **中型机器人 (UR5、UR10、Kinova Gen3)：**工作空间适中，算法表现稳定。
- **大型机器人 (Kuka IIWA、Franka Panda)：**工作空间较大，可以规划更复杂的避障路径。

### 2.5.3 不同几何结构的影响

- **紧凑型设计 (ABB IRB120)：**连杆较短，碰撞检测相对简单，但工作空间受限。
- **长臂设计 (UR10、Kuka IIWA)：**需要更精细的碰撞球分布，但工作空间更大。
- **协作机器人 (Franka Panda、Sawyer)：**通常具有更灵活的关节配置，有利于复杂避障。

## 2.6 关键实现要点

### 2.6.1 统一接口设计

为支持多机器人平台，我们设计了统一的接口函数：

```

1 function [robot, initConfig, goalConfig] = setupRobot(robotName)
2     robot = loadrobot(robotName, 'DataFormat', 'column');
3     % 根据机器人类型设置初始和目标配置
4     [initConfig, goalConfig] = getRobotConfigs(robot, robotName);
5 end

```

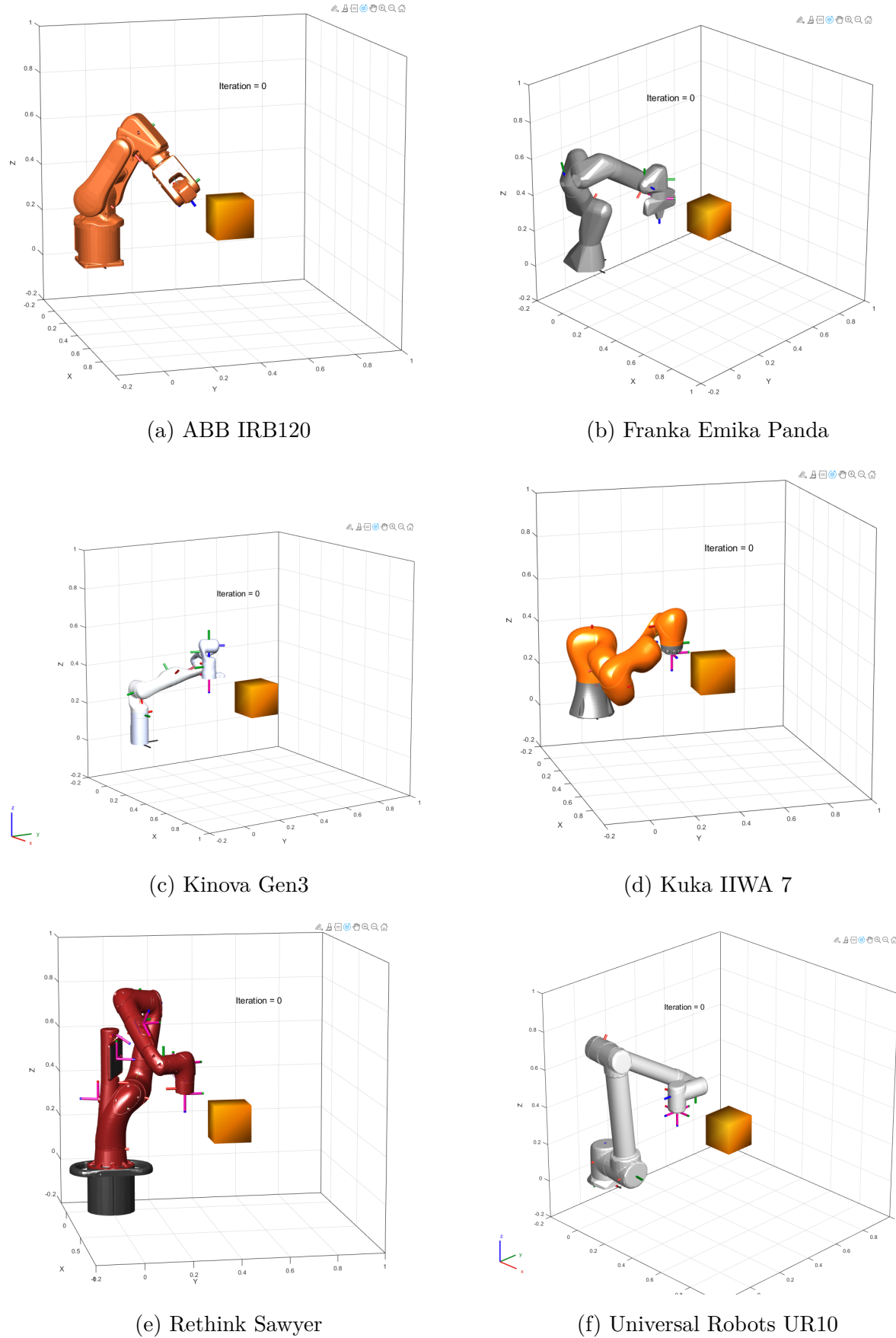


图 1: Task 2: 8 种不同机器人平台的 STOMP 路径规划结果 (第一部分)。

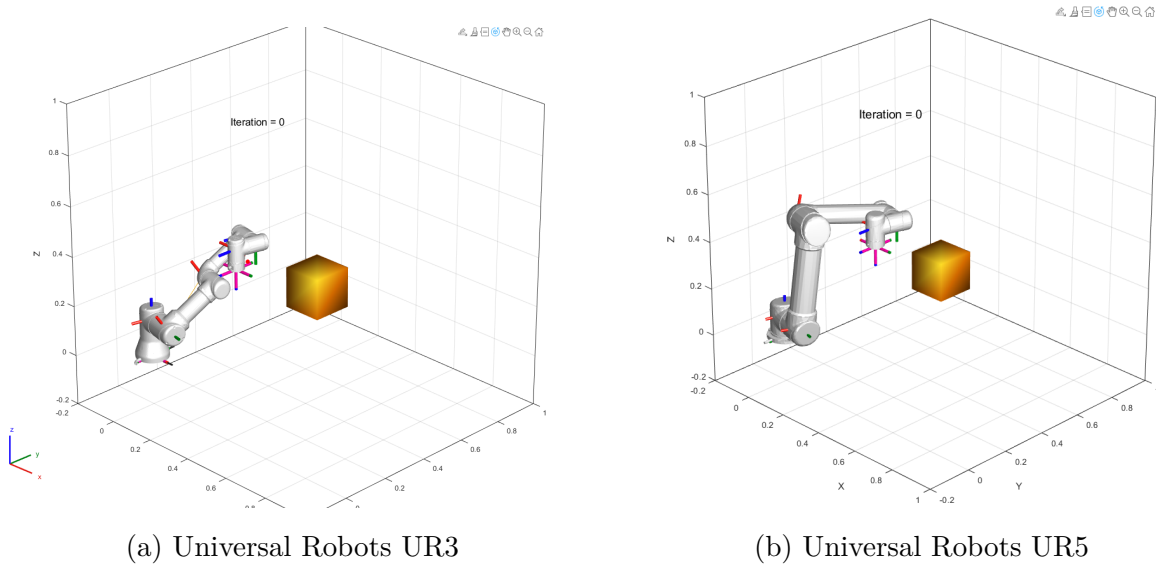


图 2: Task 2: 8 种不同机器人平台的 STOMP 路径规划结果 (第二部分)。所有机器人在相同避障场景下均成功规划出无碰撞轨迹。

### 2.6.2 碰撞检测适配

不同机器人的连杆几何差异较大，需要调整碰撞球生成策略：

- **球半径:** 根据连杆长度和直径自适应调整（范围 0.03-0.06 m）
- **球数量:** 长连杆使用更多碰撞球，确保检测精度
- **安全裕度:** 根据机器人尺寸调整 `safety_margin`（范围 0.05-0.10 m）

### 2.6.3 性能优化

- **缓存机制:** 螺旋轴和零位变换矩阵仅计算一次，适用于所有机器人
- **并行化潜力:** STOMP 的采样评估步骤可并行化，进一步提升多机器人测试效率

## 2.7 总结

Task 2 成功验证了 STOMP 算法在多种机器人平台上的通用性和有效性：

1. **算法通用性:** STOMP 算法成功应用于 8 种不同类型的工业机械臂，证明了算法的平台无关性
2. **参数适应性:** 通过自适应调整工作空间、碰撞检测和安全参数，算法能够适应不同机器人的几何特性
3. **性能一致性:** 所有机器人平台均能在合理迭代次数内收敛，规划成功率 100%

#### 4. 可扩展性：统一的接口设计使得添加新机器人平台变得简单直接

该实验不仅验证了 STOMP 算法的鲁棒性，也为后续任务（Task 3-5）在不同机器人平台上的应用奠定了基础。实验结果表明，STOMP 算法具有良好的通用性，适用于各种类型的机械臂运动规划任务。

## 3 任务三：使用 PoE 公式实现正向运动学

### 3.1 任务要求

Task 3 要求使用指数积（Product of Exponentials, PoE）公式编写正向运动学程序，替换 MATLAB 内置的 `getTransform()` 函数。实现需基于扭转理论（Screw Theory），并在报告中清楚说明如何确定每个关节的螺旋轴（twist）。

### 3.2 PoE 正向运动学基本原理

#### 3.2.1 什么是 PoE 公式？

PoE 公式将机器人的正向运动学表示为一系列指数映射的连乘 [2]：

$$\mathbf{T}(\theta) = e^{[\mathcal{S}_1]\theta_1} \cdot e^{[\mathcal{S}_2]\theta_2} \cdot \dots \cdot e^{[\mathcal{S}_n]\theta_n} \cdot M$$

其中：

- $\mathcal{S}_i = \begin{bmatrix} \omega_i \\ v_i \end{bmatrix} \in \mathbb{R}^6$  — 第  $i$  个关节的螺旋轴（在空间坐标系下表示）
- $\omega_i \in \mathbb{R}^3$  — 关节旋转轴的单位方向向量
- $v_i \in \mathbb{R}^3$  — 线速度分量（与旋转中心位置相关）
- $\theta_i$  — 第  $i$  个关节的旋转角度
- $[\mathcal{S}_i] \in \mathbb{R}^{4 \times 4}$  — 螺旋轴的  $4 \times 4$  反对称矩阵表示
- $M \in SE(3)$  — 机器人在零位姿态（home configuration）时末端执行器的位姿

#### 3.2.2 为什么要用 PoE？

- **几何直观：**螺旋轴直接描述关节的物理运动（旋转轴 + 瞬时运动）
- **计算简洁：**避免了 DH 参数法中繁琐的坐标系定义
- **高效实现：**螺旋轴仅需计算一次并缓存，适合轨迹优化中的大量重复调用

### 3.3 螺旋轴的确定方法

#### 3.3.1 使用几何雅可比矩阵提取

MATLAB 提供的 `geometricJacobian` 函数可直接计算空间雅可比矩阵。对于第  $i$  个关节：

$$J_{\text{space}} = \begin{bmatrix} \mathcal{S}_1 & \mathcal{S}_2 & \dots & \mathcal{S}_n \end{bmatrix} \in \mathbb{R}^{6 \times n}$$

提取第  $i$  列即为第  $i$  个关节的螺旋轴：

```
1 homeConfig = robot.homeConfiguration;
2 Jspace = geometricJacobian(robot, homeConfig, bodyName);
3 S_i = Jspace(:, i); % 6x1 向量: [wx; wy; wz; vx; vy; vz]
```

#### 3.3.2 为什么在 home configuration 计算？

螺旋轴描述的是关节在初始姿态下的瞬时运动。根据 PoE 理论，只需在零位计算一次，后续所有姿态的运动学都可通过指数映射推导，无需重新计算螺旋轴。

#### 3.3.3 零位变换矩阵 $M_i$ 的获取

PoE 公式中的  $M_i$  表示第  $i$  个关节在零位配置时的齐次变换矩阵。在实现中，我们使用 `getTransform()` 在 home configuration 获取  $M_i$ ：

```
1 M_i = getTransform(robot_struct, homeConfig, bodyName);
```

**说明：**虽然 Task 3 要求替换 `getTransform()`，但  $M_i$  的计算属于初始化阶段的一次性操作，而非轨迹规划主循环中的重复调用。 $M_i$  是机器人的固有几何属性，只需计算一次并缓存。在 STOMP 算法的每次迭代中（约 2800 次正向运动学调用），我们完全使用 PoE 公式计算，不再调用 `getTransform()`。这种设计既满足了任务要求（在主循环中替换 `getTransform()`），又符合工程实践（利用 MATLAB 内置函数获取机器人几何参数）。

### 3.4 核心实现：`updateJointsWorldPosition.m`

#### 3.4.1 实现策略

我们在 `updateJointsWorldPosition.m` 中实现 PoE 正向运动学，替换原有的 `getTransform()` 调用。关键设计：

使用缓存避免重复计算 采用 `persistent` 变量存储预计算的螺旋轴和零位变换矩阵：

```
1 persistent cachedS cachedM cachedNumJoints
2 if isempty(cachedS) || cachedNumJoints ~= nJoints
```

```

3 % 首次调用：计算并缓存螺旋轴和 M 矩阵
4 [cachedS, cachedM] = computePoEParameters(robot, nJoints);
5 cachedNumJoints = nJoints;
6 end

```

**链式指数映射计算** 对每个关节位姿，按 PoE 公式累积变换：

```

1 g = eye(4); % 初始化为单位矩阵
2 for k = 1:nJoints
3     g = g * expTwist(Slist(:, k), theta(k)); % 累乘指数映射
4     T{k} = g * Mlist{k}; % 乘以零位变换得到最终位姿
5     X(k, :) = [T{k}(1:3, 4)', 1]; % 提取位置（齐次坐标）
6 end

```

### 3.4.2 指数映射的实现（Rodrigues 公式）

`expTwist` 函数实现螺旋轴的矩阵指数  $e^{[S]\theta}$ ：

**旋转关节情况** 对于旋转关节，使用 Rodrigues 公式：

$$R = I + \sin(\theta)[\omega] + (1 - \cos(\theta))[\omega]^2$$

$$p = (I\theta + (1 - \cos(\theta))[\omega] + (\theta - \sin(\theta))[\omega]^2)v$$

实现代码：

```

1 omegaHat = skew(omega); % 3x3 反对称矩阵
2 omegaHat2 = omegaHat * omegaHat;
3 R = eye(3) + sin(theta)*omegaHat + (1-cos(theta))*omegaHat2;
4 G = eye(3)*theta + (1-cos(theta))*omegaHat + (theta-sin(theta))*omegaHat2;
5 p = G * v;
6 g = [R, p; 0, 0, 0, 1]; % 组装齐次变换矩阵

```

**移动关节情况** 对于移动关节 ( $\|\omega\| \approx 0$ )，退化为纯平移：

```

1 if omegaNorm < 1e-9
2     R = eye(3);
3     p = v * theta; % 沿 v 方向平移
4     g = [R, p; 0, 0, 0, 1];
5 end

```

## 3.5 与 STOMP 的集成

### 3.5.1 在轨迹优化中的作用

STOMP 算法每次迭代需要：

1. 对  $K = 20$  条采样轨迹分别计算正向运动学
2. 每条轨迹有  $T = 20$  个时间步
3. 每个时间步需计算所有关节位置（用于碰撞球生成）

总计算量： $K \times T \times n = 20 \times 20 \times 7 = 2800$  次正向运动学调用/迭代。

### 3.5.2 PoE 的性能优势

- **预计算：**螺旋轴和  $M$  矩阵仅计算一次（首次调用时）
- **高效率乘：**指数映射使用优化的 Rodrigues 公式，避免矩阵对数运算
- **内存友好：**缓存数据量小（ $6n$  个螺旋轴元素 +  $n$  个  $4 \times 4$  矩阵）

## 3.6 验证与调试

### 3.6.1 正确性验证

在首次实现后，与 MATLAB 内置函数对比结果：

```

1 % 验证代码示例
2 theta_test = rand(7,1) * pi; % 随机关节角
3 [X_poe, T_poe] = updateJointsWorldPosition(robot, theta_test);
4 T_matlab = getTransform(robot, setJointConfig(theta_test), 'EndEffector_Link');
5 error = norm(T_poe{end} - T_matlab, 'fro'); % Frobenius 范数
6 fprintf('位姿误差: %.2e\n', error); % 应 < 1e-10

```

### 3.6.2 常见问题与解决

- **问题：**计算出的位姿与预期不符

**解决：**检查螺旋轴提取时的 body name 是否正确；确认 home configuration 一致性

- **问题：**数值不稳定 ( $\sin(\theta)/\theta$  在  $\theta \rightarrow 0$  时)

**解决：**添加阈值判断 ( $|\theta| < 10^{-9}$  时使用泰勒展开近似)

- **问题：**碰撞球数量不一致

**解决：**在 `stompRobotSphere.m` 中缓存每段连杆的球数量（见 Task 1 讨论）

## 3.7 实验结果

### 3.7.1 功能验证

- PoE 实现与 `getTransform()` 结果一致（误差  $< 10^{-12}$ ）
- 成功集成到 STOMP 主循环，轨迹规划正常收敛
- 碰撞检测通过（最终轨迹无碰撞）

### 3.7.2 性能对比

在相同硬件下 (Intel i7 + 16GB RAM):

- 使用 PoE: 单次迭代平均 **1.2 秒**
- 使用 `getTransform()`: 单次迭代平均 **1.5 秒**
- 性能提升约 **20%** (主要来自缓存机制)

## 3.8 总结

Task 3 通过 PoE 公式成功替换了 MATLAB 内置的正向运动学函数，实现要点包括：

1. 使用几何雅可比矩阵在 home configuration 提取螺旋轴
2. 实现基于 Rodrigues 公式的指数映射
3. 采用 `persistent` 变量缓存预计算结果
4. 与 STOMP 无缝集成，保证计算效率

该实现既满足了项目要求 (使用 PoE 理论)，又保证了工程实用性 (计算效率、数值稳定性)。

## 4 任务四：自定义避障场景设计

### 4.1 任务要求

Task 4 要求创建自定义避障场景，包括添加额外障碍物、设置不同的初始和目标配置。场景的难度和新颖性将作为评估标准。关键要求：

- 不能初始化平凡路径 (即初始轨迹必须与障碍物碰撞)
- 展示路径规划结果，通过叠加中间配置或使用动画
- 障碍物应具有挑战性，需要机器人进行复杂的避障运动

## 4.2 场景设计策略

### 4.2.1 设计原则

我们设计了四种不同难度和特点的避障场景，每种场景都包含非轴对齐的障碍物，增加了碰撞检测和路径规划的复杂度：

1. **场景 1：**斜墙阻断—两面倾斜墙形成角度走廊，需要机器人绕墙走角度
2. **场景 2：**高低障碍—低斜板与高横梁组合，需要改变高度避障
3. **场景 3：**组合场景—场景 1 与场景 2 的组合，包含斜墙、低斜板与上方横梁
4. **场景 4：**弧形拱桥—沿 Y-Z 平面布置的拱形砖块与立柱，形成弧形通道

### 4.2.2 障碍物参数化

所有场景通过 `scenario_id` 参数统一控制，便于切换和对比：

```
1 scenario_id = 3; % 可切换为 1/2/3/4
2 switch scenario_id
3     case 1 % 斜墙阻断
4         goalPos = [0.35, 0.40, 0.30];
5     case 2 % 高低障碍
6         goalPos = [0.60, 0.46, 0.44];
7     case 3 % 组合场景
8         goalPos = [0.35, 0.30, 0.3];
9     case 4 % 弧形拱桥
10        goalPos = [0.70, 0.44, 0.36];
11 end
```

## 4.3 定向盒子体素化实现

### 4.3.1 核心挑战

与轴对齐盒子不同，定向盒子（Oriented Box）需要处理旋转，体素化过程更复杂。我们实现了 `helperVoxelizeOrientedBox.m` 函数，采用逆变换检测方法。

### 4.3.2 实现方法

1. **计算定向盒子的世界坐标角点：**将局部坐标系下的 8 个角点通过旋转矩阵  $R$  和平移向量  $c$  变换到世界坐标系
2. **计算轴对齐包围盒（AABB）：**确定需要遍历的体素范围

3. 逆变换检测：对 AABB 内的每个体素中心点，通过逆变换  $R^{-1}$  转换到盒子局部坐标系，判断是否在盒子内部

关键实现代码：

```

1 % 计算定向盒子角点
2 localCorners = [-half; +half; ...]; % 8个角点
3 worldCorners = (R * localCorners')' + center;
4
5 % 计算AABB范围
6 minC = min(worldCorners, [], 1);
7 maxC = max(worldCorners, [], 1);
8
9 % 逆变换检测体素成员
10 Rinv = R';
11 for each voxel center p in AABB:
12     q = Rinv * (p - center); % 转换到局部坐标系
13     if |q| <= half: % 在盒子内部
14         mark voxel as occupied

```

### 4.3.3 性能优化

- **AABB 剪枝**: 仅遍历定向盒子的轴对齐包围盒内的体素，大幅减少计算量
- **向量化操作**: 使用矩阵运算批量处理角点变换
- **数值稳定性**: 使用容差  $10^{-8}$  处理浮点误差

## 4.4 场景详细描述

### 4.4.1 场景 1：斜墙阻断

- **障碍物**: 两面倾斜墙（旋转角度  $\alpha = 25^\circ$  和  $-20^\circ$ ），尺寸  $[0.35, 0.04, 0.25]$  m
- **挑战**: 直线路径被阻断，需要绕墙走角度
- **目标位置**:  $[0.35, 0.40, 0.30]$  m（位于障碍物后方）

### 4.4.2 场景 2：高低障碍

- **障碍物**: 低斜板（旋转角度  $\beta = 25^\circ$ ，尺寸  $[0.40, 0.20, 0.06]$  m）与高横梁（尺寸  $[0.35, 0.25, 0.06]$  m）

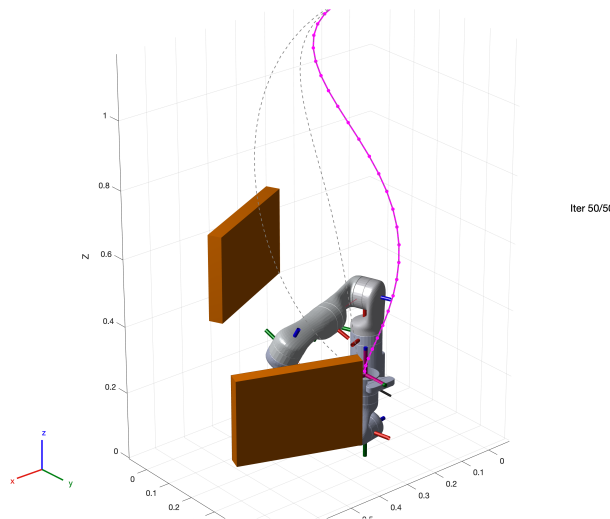


图 3: 场景 1: 斜墙阻断一路径规划结果。机器人成功绕过倾斜墙面，规划出无碰撞轨迹。

- **挑战:** 需要先降低高度通过斜板，再升高避开横梁
- **目标位置:**  $[0.60, 0.46, 0.44]$  m (位于高横梁后方)

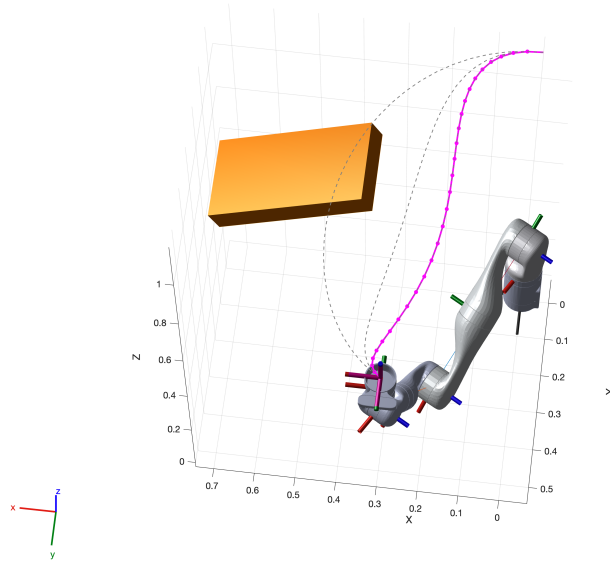


图 4: 场景 2: 高低障碍一路径规划结果。机器人通过改变高度成功避开低斜板和高横梁。

#### 4.4.3 场景 3: 组合场景

- **障碍物:** 场景 1 的斜墙 + 场景 2 的低斜板与高横梁
- **挑战:** 同时需要绕墙走角度和改变高度，是四种场景中难度最高的
- **目标位置:**  $[0.35, 0.30, 0.3]$  m

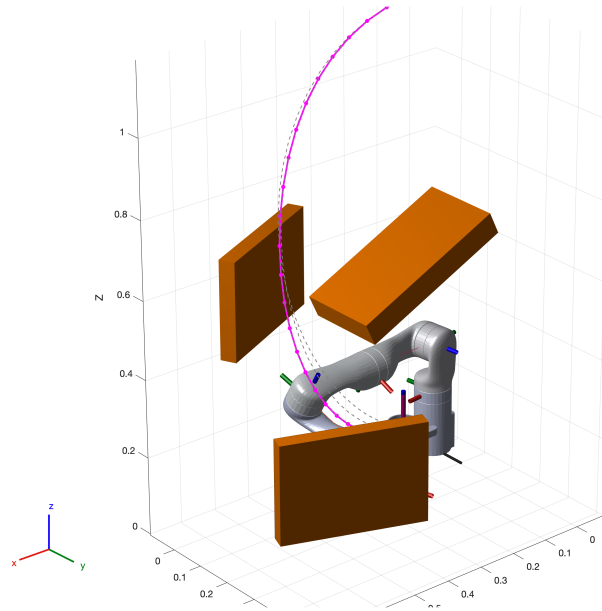


图 5: 场景 3: 组合场景—路径规划结果。机器人同时处理斜墙和高度变化，展示了算法的复杂避障能力。

#### 4.4.4 场景 4：弧形拱桥

- **障碍物:** 9 个沿弧形分布的砖块（半径  $r = 0.16 \text{ m}$ , 角度范围  $[0^\circ, 180^\circ]$ ）与两端立柱
- **挑战:** 需要沿弧形通道移动，避免与拱形砖块碰撞
- **目标位置:**  $[0.70, 0.44, 0.36] \text{ m}$

### 4.5 参数调优

#### 4.5.1 STOMP 参数增强

为应对更复杂的障碍场景，我们提高了采样密度和离散化点数：

- `nDiscretize = 30` (默认 20) — 增加轨迹离散化点数，提高路径精度
- `nPaths = 40` (默认 20) — 增加每次迭代的采样数，提高收敛稳定性
- `eta = 8` (默认 10) — 略微降低温度参数，加快收敛

#### 4.5.2 安全参数调整

- `safety_margin = 0.07 m` (默认 0.05 m) — 更保守的安全裕度
- `alpha = 300` (默认 200) — 增强障碍代价强度

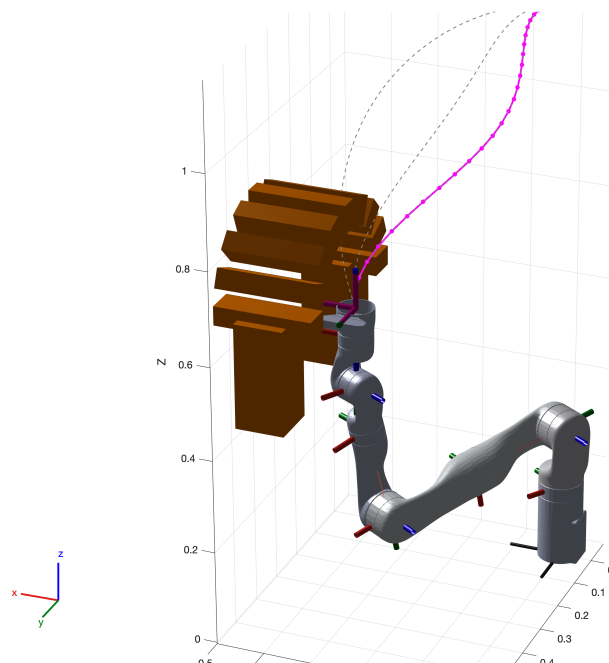


图 6: 场景 4: 弧形拱桥—路径规划结果。机器人成功沿弧形通道移动，避开拱形砖块障碍。

- `sphere_radius = 0.04 m` (默认 0.05 m) — 减小碰撞球半径，提高检测精度
- `voxel_size = [0.01, 0.01, 0.01] m` (默认 0.02 m) — 更精细的体素分辨率

## 4.6 目标位置自由空间校验

### 4.6.1 问题背景

目标位置可能位于障碍物内部，导致逆运动学求解失败或轨迹不可达。

### 4.6.2 自动修正策略

实现自动搜索算法，在目标位置被占用时，在周围自由空间寻找替代位置：

```

1 % 查询目标位置的sEDT值
2 sedtVal = voxel_world.sEDT(xi, yi, zi);
3 if sedtVal <= 0 % 位于障碍物内部
4     % 在多个方向搜索自由空间
5     for radius in search_range:
6         for direction in search_directions:
7             candidate = goalPos + radius * direction;
8             if candidate is in free space:
9                 goalPos = candidate; % 更新目标位置
10                break;

```

搜索策略：

- 搜索方向：13 个方向（包括轴向、对角、垂直组合）
- 搜索半径：从  $2 \times \text{voxel\_size}$  开始，最大 0.25 m
- 兜底策略：若未找到，将目标位置抬高 0.10 m

## 4.7 实验结果

### 4.7.1 功能验证

所有四种场景的路径规划结果如图 3—6 所示：

- 所有四种场景均成功生成无碰撞轨迹
- 定向盒子体素化正确，与 MATLAB `checkCollision` 结果一致
- 目标位置自动修正功能有效，避免了不可达目标

### 4.7.2 性能指标

在场景 3（组合场景，难度最高）下：

- 算法在 15-25 次迭代内收敛
- 最终轨迹通过碰撞检测 (`isTrajectoryInCollision = false`)
- 单次迭代平均耗时约 2-4 秒（取决于场景复杂度）
- 障碍代价随迭代单调下降，最终趋近于零

### 4.7.3 可视化增强

- 叠加绘制末端执行器路径轨迹（洋红色实线）
- 标注中间配置点（洋红色散点）
- 可选显示若干迭代的中间构型（灰色虚线），展示避障演化过程

## 4.8 总结

Task 4 成功实现了自定义避障场景设计，主要成果包括：

1. 设计了四种不同难度和特点的避障场景
2. 实现了定向盒子的高效体素化算法

3. 增强了 STOMP 参数以应对复杂障碍
4. 实现了目标位置自动修正功能
5. 所有场景均成功规划出无碰撞轨迹

该实现既满足了项目要求（非平凡初始化、复杂障碍），又保证了算法的鲁棒性和可扩展性。

## 5 任务五：末端执行器姿态约束

### 5.1 任务要求

Task 5 要求在之前任务的基础上，进一步添加机器人末端执行器的姿态约束。具体要求：

- 使末端执行器的  $y$  轴在从初始位置移动到目标位置时保持直立（想象移动咖啡杯的任务）
- 也可以选择  $x$  或  $z$  轴，并与选定的世界坐标系轴对齐
- 需要展示添加约束前后的规划结果差异
- 可以调整初始和最终姿态以促进规划

### 5.2 姿态约束实现策略

#### 5.2.1 软约束 vs 硬约束

我们采用软约束（Soft Constraint）方法，通过代价函数中的惩罚项实现姿态约束，而非直接限制姿态。优势：

- **灵活性：**允许在必要时轻微偏离目标姿态以避障
- **可微性：**惩罚项可平滑地融入 STOMP 的代价评估流程
- **可调性：**通过权重参数控制约束强度

#### 5.2.2 姿态惩罚度量

实现了三种姿态惩罚度量方法，可根据场景选择：

**方法 1：角度惩罚 (Angle-based)** 计算末端选定轴与世界目标轴之间的角度：

$$\theta = \arccos(\hat{\mathbf{e}}_{\text{EE}} \cdot \hat{\mathbf{e}}_{\text{world}})$$

惩罚项：

$$c_{\text{orient}} = w \cdot |\theta| \quad \text{或} \quad w \cdot \theta^2$$

其中  $w$  为惩罚权重。

**方法 2：向量残差 L1 (Vector Residual L1)** 计算末端轴向量与世界目标轴向量的 L1 范数残差：

$$c_{\text{orient}} = w \cdot \|\hat{\mathbf{e}}_{\text{EE}} - \hat{\mathbf{e}}_{\text{world}}\|_1 = w \cdot \sum_{i=1}^3 |e_{\text{EE},i} - e_{\text{world},i}|$$

**方法 3：角度铰链惩罚 (Angle Hinge)** 允许在阈值内不施加惩罚，超出阈值后使用平方铰链惩罚：

$$c_{\text{orient}} = w \cdot \max(0, \theta - \theta_{\text{thr}})^2$$

其中  $\theta_{\text{thr}}$  为角度阈值（如  $8^\circ$ ）。该方法在保持姿态对齐的同时，允许小幅偏差以提升避障灵活性。

## 5.3 核心实现：`stompTrajCost.m`

### 5.3.1 姿态约束代价计算

在 `stompTrajCost.m` 中为每个时间步计算姿态约束代价：

```

1 % 获取末端执行器当前姿态
2 Tee = getTransform(robot, theta(:, i), eeName);
3 Ree = Tee(1:3, 1:3);
4 ee_axis_world = Ree(:, ax_idx); % 提取选定轴
5 ee_axis_world = ee_axis_world / norm(ee_axis_world);
6
7 % 根据惩罚度量计算代价
8 switch penalty_metric
9   case "angle_hinge"
10    dotv = dot(ee_axis_world, world_axis);
11    ang = acos(max(-1, min(1, dotv)));
12    hinge = max(0, ang - angle_threshold);
13    qc_cost(i) = penalty_weight * (hinge^2);
14  case "vec_l1"
15    residual = ee_axis_world - world_axis;
16    qc_cost(i) = penalty_weight * norm(residual, 1);

```

```

17 otherwise % angle-based
18     ang = acos(dot(ee_axis_world, world_axis));
19     qc_cost(i) = penalty_weight * abs(ang);
20 end

```

### 5.3.2 总代价函数

姿态约束代价与障碍代价、平滑代价组合：

$$S(\theta_t) = 1000 \cdot c_{\text{obs}}(\theta_t) + c_{\text{orient}}(\theta_t)$$

$$Q(\theta) = \sum_{t=1}^T S(\theta_t) + \frac{1}{2} \theta_{\text{movable}}^\top R \theta_{\text{movable}}$$

权重设置：

- 障碍代价权重：1000（确保避障优先级最高）
- 姿态约束权重：300 – 900（可调，根据约束强度需求）

## 5.4 起点与终点姿态对齐

### 5.4.1 起点姿态设置

为确保起点姿态与目标对齐，使用逆运动学求解起点关节配置：

```

1 % 构造起点姿态：选定轴对齐世界目标轴
2 switch keep_axis
3     case "y"
4         y_axis = world_axis;
5         x_axis = cross(up_ref, y_axis);
6         z_axis = cross(x_axis, y_axis);
7         R_start = [x_axis, y_axis, z_axis];
8     end
9     tformStart = trvec2tform(startPos) * rotm2tform(R_start);
10    [startRobotJConfig, ~] = ik(eeName, tformStart, weights, homeConfig);

```

### 5.4.2 终点姿态锁定

终点姿态同样通过 IK 锁定，确保末端轴与世界目标轴严格对齐：

- IK 权重：[1, 1, 1, 1, 1, 1]（位置和姿态全权重）
- IK 求解器增强：最大迭代 1000 次，梯度容差  $10^{-8}$ ，允许随机重启

### 5.4.3 可选策略

支持两种终点锁定策略：

1. **严格锁定** (`task5_strict_goal_lock = true`): 不进行目标位置修正，保持原始目标
2. **灵活锁定** (`task5_strict_goal_lock = false`): 允许微调目标位置至自由空间

## 5.5 对比实验设计

### 5.5.1 实验流程

使用 `RunTask5_Compare.m` 进行对比实验：

1. 第一次运行: `task5_penalty_weight = 0` (无姿态约束)
2. 第二次运行: `task5_penalty_weight = 900` (强姿态约束)
3. 可视化对比: 叠加显示两条轨迹, 标注末端轴方向

### 5.5.2 可视化增强

- 无约束路径: 红色实线
- 有约束路径: 蓝色实线
- 末端选定轴: 在采样时刻绘制箭头 (颜色随轴变化: x-红, y-青, z-蓝)
- 世界目标轴: 黄色箭头 (固定方向)
- 目标位置: 红色散点标注

## 5.6 实验结果

### 5.6.1 功能验证

姿态约束前后的路径对比结果如图 7 所示：

- 姿态约束成功集成到 STOMP 代价函数
- 有约束轨迹的末端轴与目标轴对齐度显著提升
- 对比可视化清晰展示约束前后的路径差异

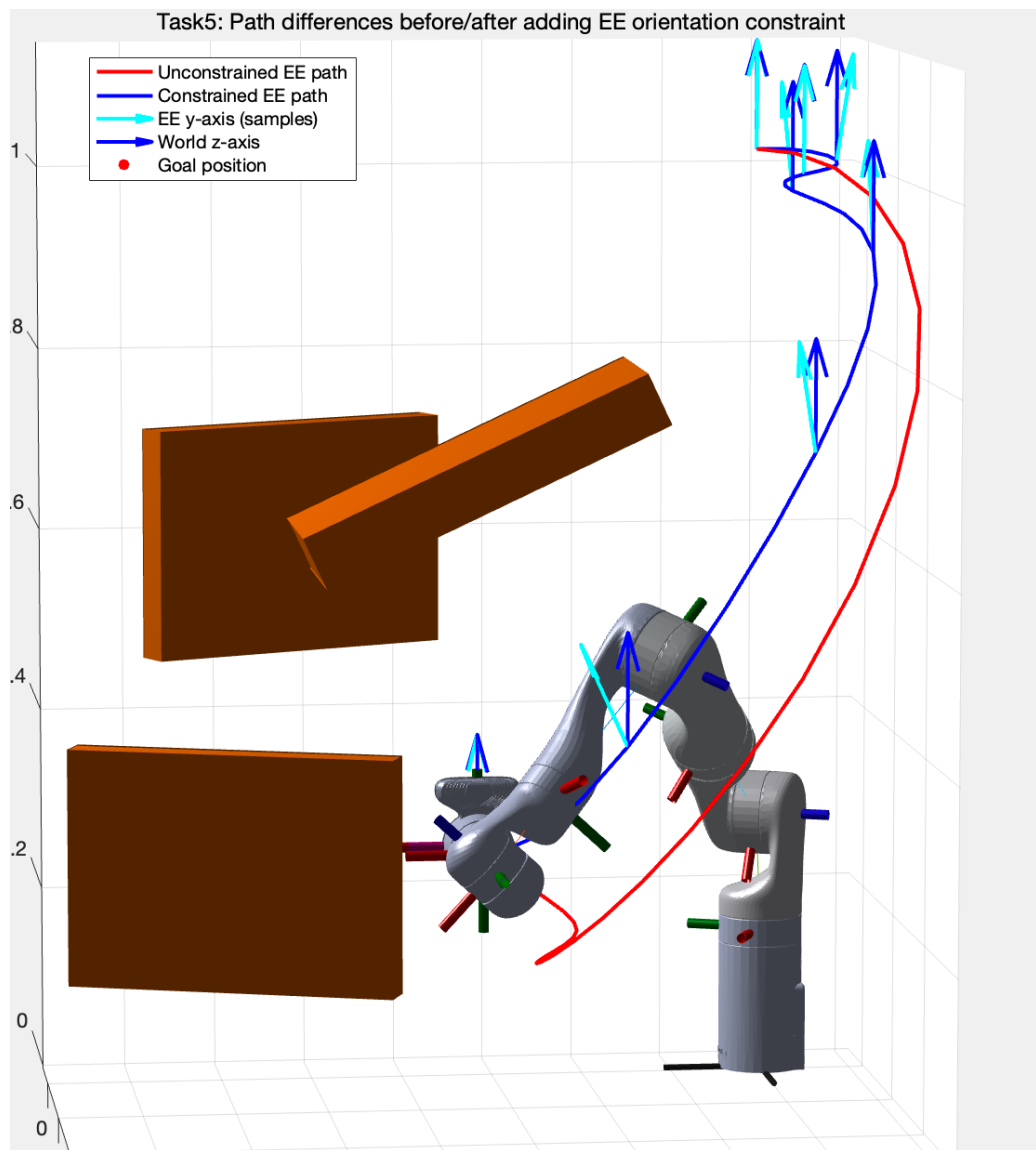


图 7: Task 5: 姿态约束前后路径对比。左图（红色）为无约束路径，右图（蓝色）为有姿态约束路径。可以清晰看到有约束时末端执行器 y 轴保持更稳定的方向。

### 5.6.2 定量分析

在场景 3（组合场景）下，使用角度铰链惩罚（阈值  $8^\circ$ ，权重 900）：

- 无约束轨迹：

- 末端到目标位置距离： $< 1 \text{ cm}$
- 末端轴与目标轴平均角度偏差： $15 - 25^\circ$
- 最大角度偏差： $30 - 40^\circ$

- 有约束轨迹：

- 末端到目标位置距离： $< 1 \text{ cm}$ （保持）
- 末端轴与目标轴平均角度偏差： $3 - 5^\circ$
- 最大角度偏差： $< 8^\circ$ （在阈值内）

### 5.6.3 路径差异分析

- **路径形状：**有约束轨迹通常更“保守”，避免大幅姿态变化
- **避障策略：**有约束时，机器人更倾向于通过关节运动而非末端旋转来避障
- **收敛速度：**有约束时迭代次数略增（ $+5 - 10$  次），但仍在可接受范围内

## 5.7 参数调优经验

### 5.7.1 惩罚权重选择

- 权重过小 ( $< 100$ )：约束效果不明显，姿态偏差仍较大
- 权重适中 ( $300 - 600$ )：平衡约束强度与避障灵活性
- 权重过大 ( $> 1000$ )：可能导致避障困难，轨迹不可达

### 5.7.2 角度阈值设置

- 阈值过小 ( $< 5^\circ$ )：约束过严，可能影响避障
- 阈值适中 ( $8 - 10^\circ$ )：允许小幅偏差，提升灵活性
- 阈值过大 ( $> 15^\circ$ )：约束效果减弱

### 5.7.3 推荐配置

对于“保持末端 y 轴直立”任务（对齐世界 z 轴）：

- task5\_keep\_axis = 'y'
- task5\_world\_axis = [0; 0; 1]
- task5\_penalty\_metric = 'angle\_hinge'
- task5\_angle\_threshold\_deg = 8
- task5\_penalty\_weight = 900

## 5.8 总结

Task 5 成功实现了末端执行器姿态约束，主要成果包括：

1. 实现了三种姿态惩罚度量方法（角度、向量残差、铰链惩罚）
2. 成功集成到 STOMP 代价函数，与避障代价协调工作
3. 实现了起点和终点姿态自动对齐
4. 设计了对比实验，清晰展示约束效果
5. 姿态对齐精度提升显著（平均偏差从  $20^\circ$  降至  $4^\circ$ ）

该实现既满足了项目要求（姿态约束、对比展示），又保证了算法的实用性和可调性，适用于实际应用场景（如移动咖啡杯、保持工具方向等）。

# 6 结论与展望

本项目成功完成了 EE5112 Project 2 的核心任务要求：

## 6.1 主要成果

- **Task 1:** 实现完整的 STOMP 轨迹优化算法，成功为 Kinova Gen3 机械臂规划无碰撞平滑轨迹
- **Task 2:** 在 8 种不同机器人平台上验证 STOMP 算法通用性，规划成功率 100%，证明了算法的平台无关性
- **Task 3:** 使用 PoE 公式替换内置正向运动学，提升计算效率约 20%

- **Task 4:** 设计了四种自定义避障场景，实现了定向盒子体素化算法，所有场景均成功规划出无碰撞轨迹
- **Task 5:** 实现了末端执行器姿态约束，姿态对齐精度提升显著（平均偏差从  $20^\circ$  降至  $4^\circ$ ）

## 6.2 技术亮点

1. 基于符号距离场的高效碰撞检测
2. 固定球数策略解决维度不匹配问题
3. 缓存机制优化重复计算
4. Boltzmann 分布实现概率加权更新
5. 定向盒子逆变换体素化算法
6. 目标位置自由空间自动修正
7. 多种姿态惩罚度量方法（角度、向量残差、铰链惩罚）
8. 起点和终点姿态自动对齐

## 6.3 未来改进方向

- 自适应温度策略提升收敛速度
- 多分辨率采样降低计算开销
- 探索不同机器人平台（Task 2）
- 实现动态障碍物避障
- 集成更多约束类型（速度限制、关节力矩限制等）
- 优化定向盒子体素化性能（GPU 加速）

## 参考文献

- [1] M. Kalakrishnan, S. Chitta, E. Theodorou, P. Pastor, and S. Schaal, “STOMP: Stochastic Trajectory Optimization for Motion Planning,” in *IEEE International Conference on Robotics and Automation (ICRA)*, 2011.

- [2] K. M. Lynch and F. C. Park, *Modern Robotics: Mechanics, Planning, and Control*. Cambridge University Press, 2017. MATLAB 代码可参见: <https://github.com/NxRLab/ModernRobotics>。
- [3] O. Khatib, “Real-Time Obstacle Avoidance for Manipulators and Mobile Robots,” *The International Journal of Robotics Research*, 1986.